

الفصل الخامس

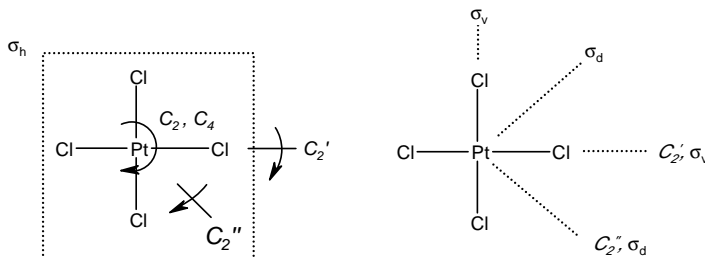
طيف الاهتزازي Xe(O)F_4

The Vibrational Spectrum of Xe(O)F_4

يجمع هذا الفصل أفكار الفصل الثالث والرابع ويلخص نهج تحليل ودراسة الطيف الاهتزازي بشكل كامل. سوف نشرع الآن بتناول طريقة إسناد الرموز التماضية لاهتزازات الشد والثني بتفصيل أكثر، ونتبع ذلك بمثال محلول لطيف Xe(O)F_4 الاهتزازي. وسنصل أخيراً إلى بعض الملاحظات حول حدود استخدام نظرية الزمرة لتحليل الأطيف الاهتزازية، ثم سنناقش المقاربة البديلة باستخدام تردد المجموعات.

(٥,١) اهتزازات الشد والثني

رأيت في الفصل الثالث كيف استُخدمت الأسهم أحادية وثنائية الرؤوس لتعيين اهتزازات الشد والثني لجزيء بسيط مثل SO_2 . سوف نطبق الآن نفس الطريقة لمثال أكثر تعقيداً، وبالتحديد تحليل الأشكال الاهتزازية لـ $[\text{PtCl}_4]^{2-}$ (D_{4h} ؛ يبين الشكل رقم (٥,١) موضع عناصر التماضية).



الشكل رقم (١،٥). موقع عناصر التمايز الموجودة في $[PtCl_4]^{2-}$ (D_{4h}).

سؤال تقييم ذاتي ١،٥ : استنتاج اهتزاز $\Gamma_{[PtCl_4]^{2-}}$ ثم بين أن :

$$\Gamma_{اهتزاز} = A_{1g} + B_{1g} + B_{2g} + A_{2u} + B_{2u} + 2E_u$$

انظر جدول صفات D_{4h} في الملحق ٥.

جميع إجابات أسلمة التقييم الذاتي في الملحق ٣.

يملك الأيون الطيف الاهتزازي أدناه حيث الاهتزازات النشطة في تحت الحمراء هما

A_{1g} ، E_u (سؤال تقييم ذاتي ٤،١)، في حين الاهتزازات النشطة في الرامان هي

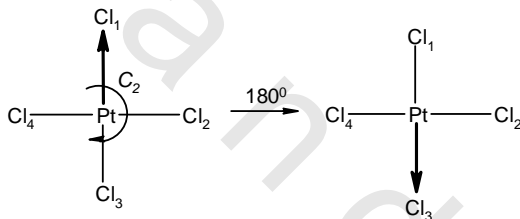
(مستقطب)، B_{1g} (غير مستقطب) و B_{2g} (غير مستقطب) (سؤال تقييم ذاتي ٤،٢) :

الرامان (محلول سم ⁻¹)	تحت الحمراء (محلول سم ⁻¹)
332 (مستقطب)	
	320
314 (غير مستقطب)	
	183
170(غير مستقطب)	
	93

وكما هو الحال مع SO_2 ، يمكننا تحديد رموز التماثل لاهتزازات الشد باستخدام أسمهم أحادية الرؤوس على امتداد كل رابطة Pt-Cl. باستخدام هذه المتجهات الأربع كقاعدة للتمثيل، نحصل على التمثيل 1 (ميز مصفوفات التحويل) إذا لم تتحرك المتجهة أو 0 إذا تحركت إلى موقع جديد:

D_{4h}	E	$2C_4$	C_2	$2C_2'$	$2C_2''$	i	$2S_4$	σ_h	$2\sigma_v$	$2\sigma_d$
$\Gamma_{\text{Pt-Cl}}$	4	0	0	2	0	0	0	4	2	0

لاحظ أن المتجهات الأربعه تتعكس حول نفسها بتأثير العمليه C_2 كما يظهر أدناه في أحد المتجهات:



وبحلaf Γ_{3N} ، حيث استُخدمت المتجهات على امتداد x ، y ، z كقاعدة للتمثيل، فإننا لا نحسب -1 عندما تظهر متجهة الشد وقد انعكست على نفسها. ففي حالة Γ_{3N} من الواضح أن الذرة يمكنها أن تزاح في كل من الاتجاهات + و - وبالتالي فإن أي متجهة سوف تتعكس على نفسها عندما تتعكس حركة الذرات. إلا أنه في حالة متجهة الشد، فإن موضع الذرات ثابتة ومفهوم شد الرابطة في الاتجاه المعاكس لموقعها الأصلي لا معنى له. توضح مصفوفة التحويل محور الدوران C_2 هذا لماذا يساهم هذا الوضع بـ 0 في ميز المصفوفة.

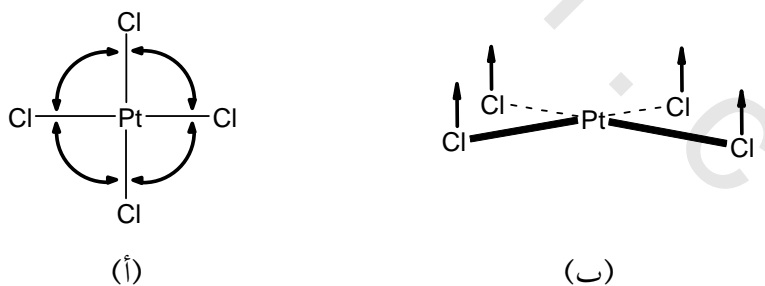
$$\begin{bmatrix} 0 & 0 & 1 & 0 \\ 0 & 0 & 0 & 1 \\ 1 & 0 & 0 & 0 \\ 0 & 1 & 0 & 0 \end{bmatrix} \begin{bmatrix} \text{Pt}-\text{Cl}_1 \\ \text{Pt}-\text{Cl}_2 \\ \text{Pt}-\text{Cl}_3 \\ \text{Pt}-\text{Cl}_4 \end{bmatrix} = \begin{bmatrix} \text{Pt}-\text{Cl}_3 \\ \text{Pt}-\text{Cl}_4 \\ \text{Pt}-\text{Cl}_1 \\ \text{Pt}-\text{Cl}_2 \end{bmatrix}$$

وباستخدام صيغة الاختزال يمكن فصل $\Gamma_{\text{Pt-Cl}}$ إلى المجموع التالي:

$$\Gamma_{\text{Pt-Cl}} = A_{1g} + B_{1g} + E_u$$

سؤال تقييم ذاتي ٥،٢ : باستخدام الأسهم أحادية الرؤوس لتعيين تمثيلات اهتزازات شد N-O لـ $[\text{NO}_3]$. حدد النشاط في تحت الحمراء والرامان لكل شكل اهتزازي.

مهمتنا التالية هي تحديد أشكال الثنائي (وتسمى "التعوّق"). هناك احتمالان، ويعتمد ذلك إذاً على كون التعوّق في مستوى الذرات (أشكال "في المستوى") أو عمودية على هذا المستوى (أشكال "خارج المستوى"). يمكن وصف الأول بأسهم ثنائية الرؤوس (الشكل رقم ٥،٢ أ)، كما في حالة SO_2 (الجزء ٣،٣).



الشكل رقم (٥،٢). أسهم ثنائية وأحادية الرؤوس لوصف (أ) أشكال التعوّقات في المستوى و (ب) خارج المستوى، على التوالي.

تُستخدم الأسهم أحادية الرؤوس للأشكال خارج المستوى (الشكل رقم ٥.٢ ب)، ولكن لاحظ في هذه الحالة أن الذرات يمكنها أن تتحرك في كلا الاتجاهين + و- لذا فإن انعكاس هذه المتجهة ممكن (تساهم بـ ١ في مميز مصفوفة التحويل)، وبقاوئها بلا حركة يسأهم بـ ١، وتحركها إلى موقع جديد بـ ٠.

باستخدام هذه القواعد، فإن التمثيلات المترولة من الثنائي في المستوى هي:

D _{4h}	E	2C ₄	C ₂	2C _{2'}	2C _{2''}	I	2S ₄	σ _h	2σ _v	2σ _d
Γ _{في المستوى}	4	0	0	0	2	0	0	4	0	2

ويختزل ذلك إلى:

$$\Gamma_{\text{في المستوى}} = A_{1g} + B_{2g} + E_u$$

هناك أمران تجدر الإشارة إليهما هنا. أولاً: سوف يتحرك اثنان من الأسهم ثنائية الرؤوس إلى موقع جديدة تحت تأثير "C_{2'}" و "C_{2''} في حين يتبادل الاثنان الآخرين (هذان اللذان ينصفهما محور أو مستوى تماثل) أطراف السهم ثنائي الرأس ولكن السهم ثنائي الرأس ككيان لا يتحرك. في هذا السياق، لا يختلف الوضع عنه في الجزء ٣.٣ للشد المتماثل لـ SO₂. ثانياً: لقد ولدنا شكلاً تماثلي ثانٍ A_{1g} لا يمكن أن يكون صحيحاً إذ أن اهتزاز Γ لها حد A_{1g} واحد فقط. في الواقع، هذا الشكل A_{1g} الإضافي خطأ ناتج عن مقتربة الزمرة النقطية: يتيح تماثل الزمرة النقطية تعوق الزوايا الأربع بأسلوب متطابق (هذا الشكل التماثلي المثالي هو ما يصفه A_{1g}). ولكن من الطبيعي استحالة تعدد الزوايا الأربع (أو انكماسها) في نفس الوقت، إذ إن مجموعها يجب أن يكون 360°. هذا الشكل الإضافي A_{1g} هو ما يُعرف بالشكل الفائض ويمكن إهماله.

سؤال تقييم ذاتي ٥.٣ : استخدم أسماء ثنائية الرؤوس لتعيين تمثيلات أشكال ثني N-O في

المستوى في [NO₃⁻] على إجابتك إذا علمت أن "A_{2'} + 2E' + A₁' = اهتزاز Γ"

يمكنا أن نخمن جيداً ماذا يجب أن تكون رموز التماشل لاهتزازات ثني $[PtCl_4]^{2-}$ خارج المستوى ، وذلك باستبعاد الرموز التي تصف الشد والثني في المستوى من العدد الكلي :

$$\Gamma_{اهتزاز} = A_{1g} + B_{1g} + B_{2g} + A_{2u} + B_{2u} + 2E_u$$

$$\Gamma_{Pt-Cl} = A_{1g} + B_{1g} + E_u$$

$$\Gamma_{في المستوى} = E_u + B_{2g}$$

$$\Gamma_{خارج المستوى} = A_{2u} + B_{2u}$$

ولإثبات صحة ذلك ، يمكننا استنتاج التمثيلات التالية للتعوقيات خارج المستوى باستخدام مجموعة من أربعة أسهم أحادية الرؤوس من الشكل رقم (٥.٢) كقاعدة للتمثيل :

D_{4h}	E	$2C_4$	C_2	$2C_2'$	$2C_2''$	i	$2S_4$	σ_h	$2\sigma_v$	$2\sigma_d$
$\Gamma_{خارج المستوى}$	4	0	0	-2	0	0	0	-4	2	0

لاحظ أن اثنين من الأسهم أحادية الرؤوس تعكس اتجاهها تحت تأثير C_2' (هؤلاء عند زاوية قائمة بالنسبة للمحور ، وتحسب -1) وتكافئ حركة إلى الأسفل للكلور ؛ ويتحرك السهمان الآخران إلى موقع جديد (تحسب 0). أما بالنسبة لـ σ_h فالأسهم الأربعة تعكس اتجاهها (1-4). يختزل التمثيل إلى :

$$\Gamma_{خارج المستوى} = E_g + A_{2u} + B_{2u}$$

لا يتفق هذا مع ما تنبأنا به ، إذ إنه يضم الحد E_g الذي لا يحتويه اهتزاز Γ . هذه زائدة أخرى ، إلا أن من شأنها أقل وضوحاً. في الواقع ، الرمز التماشي E_g يعود إلى

الدوران حول المحاور x و y (R_x، R_y) ، ورغم أنها ليست جزءاً من اهتزاز Γ فإنها موجودة في كل من Γ_{3N} وانتقال + دوران Γ (سؤال تقييم ذاتي ٥.١). يبدو أن اختيار الأسهם أحادية الرؤوس كقاعدة للتمثيل للتعوقات خارج المستوى (الشكل رقم ٥.٢) يولد كذلك اتحادين آخرين يمثلان دوران الجزيء ككل أكثر من أنها تعوقات ويمكن بذلك إهمالها من تحليل خارج المستوى Γ .

سؤال تقييم ذاتي ٥.٤ : استخدم أسهם أحادية الرؤوس لتعيين تماثلات ثني أشكال N-O الاهتزازية خارج المستوى في [NO₃]⁻. علق على إجابتك بناء على إجابات سؤال تقييم ذاتي ٥.٢ و ٥.٣.

نحن الآن في وضع يمكننا من التفسير الكامل لطيف [PtCl₄]²⁻ الاهتزازي (المجدول رقم ٥.١) :

(سؤال تقييم ذاتي ٥.١) $\Gamma = A_{1g} + B_{1g} + B_{2g} + A_{2u} + B_{2u} + 2E_u$

بداية نلاحظ أن A_{1g} ، B_{1g} و B_{2g} نشطة فقط في الرامان، A_{2u} و E_u نشطة في تحت الحمراء والرامان و B_{2u} غير نشط نهائياً. بالنسبة لحزم الرامان نجد أن A_{1g} حزمة مستقطبة في حين الحزم B_{1g} ، B_{2g} كلاهما غير مستقطب، لذا يجب التمييز بينها. B_{1g} اهتزاز شد، لذا يجب أن يكون عند طاقة أعلى من اهتزاز الثاني.

الجدول رقم (١) طيف). $[\text{PtCl}_4]^{2-}$ الاهتزازي وإسناده.

	الرامان (محلول؛ سم ⁻¹)	تحت الحمراء (محلول؛ سم ⁻¹)	
Pt-Cl شد A _{1g}	332 (مستقطب)		
		320	E _u شد Pt-Cl
Pt-Cl شد B _{1g}	314 (غير مستقطب)		
		183	E _u ثني في المستوى
B _{2g} ثني في المستوى	170 (غير مستقطب)		
		93	A _{2u} ثني خارج المستوى

من بين الثلاث اهتزازات النشطة في تحت الحمراء، اثنان ثني (E_u, A_{2u}) وواحد يعود لشد Pt-Cl (E_u). لا بد أن يظهر الأخير عند طاقة أعلى لذا يمكن إسناده بثقة نوعا ما، إلا أن التمييز بين أشكال الثني المتبقية أقل سهولة. ببراعة التخمين ليس إلا، يمكن إسناد الحزمة عند 183 سم⁻¹ إلى اهتزاز في المستوى، لقربها في الطاقة من الثني في المستوى النشط في الرaman عند 170 سم⁻¹.

سؤال تقييم ذاتي ٥،٥: فسّر طيف [NO₃] بالاعتماد على إجاباتك على سؤال تقييم ذاتي : ٥،٢ و ٥،٤ .

الرامان (محلول، سم ⁻¹)	تحت الحمراء (صلب، سم ⁻¹)
1385 (غير مستقطب)	1383
1084 (غير مستقطب)	
	825
718 (غير مستقطب)	720

لم نطرق أبداً إلى كيفية هذا الشد والثني في تحلينا لأشكال الشد والثني لـ $[\text{Pt}-\text{Cl}_4]^{2-}$. لقد فعلنا ذلك في حالة SO_2 الأبسط في الفصل الثالث، حيث شكلي الشد-المتماثل وعكس المتماثل - وشكل الثني الوحيد كانت واضحة بذاتها. من الصعب، ولكن من الممكن، تقييم طبيعة الشد والثني لأصناف أكثر تعقيداً مثل $[\text{Pt}-\text{Cl}_4]^{2-}$ باستخدام تقنية تعرف بعملات الإسقاط. ليست هذه بالعملية السهلة إلا في الحالات البسيطة جداً ويتم التعامل معها على مستوى الأساس كما في الملحق ١.

(٥,٢) طيف Xe(O)F_4 الاهتزازي

الجزء الأخير من هذا الفصل تلخيص لجميع النقاط الأساسية التي توصلنا إليها في الجزء II، على هيئة مثال محلول بالكامل عن كيفية التحليل التام لطيف اهتزازي. والجزيء الذي سوف نتناوله هو Xe(O)F_4 ، وطيفه الاهتزازي موضح في الجدول رقم (٥,٢) أدناه.

الجدول رقم (٥,٢) طيف Xe(O)F_4 الاهتزازي.

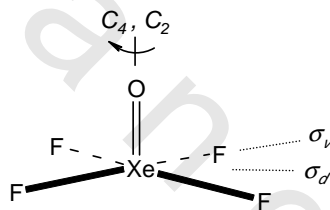
الرaman (سائل، سم ^{-١})	تحت الحمراء (بخار، سم ^{-١})
920 (مستقطب)	926
605 (غير مستقطب)	609
567 (مستقطب)	576
527 (غير مستقطب)	
364 (غير مستقطب)	361
286 (مستقطب)	288
232 (غير مستقطب)	
220 (غير مستقطب)	
160 (غير مستقطب)	159

سنلقي الضوء على الخطوات الالازمة لإسناد هذه البيانات وذلك كما في النقاط

التالية :

- حدد الشكل الصحيح للجزيء وزمرة النقطية.

تنبأ نظرية تنافر أزواج إلكترونات التكافؤ بأن أزواج الإلكترونات الستة ستنتظم بشكل ثماني الأوجه حيث يشغل زوج الإلكترونات الحرّ أحد المواقع. الشكل هو هرم مربع القاعدة، والجزيء يملك محور C_4 رئيسي، لا يملك محاور C_2 عمودية على C_4 ولا σ . ولكنه يملك مستويات مرآيا رأسية، اثنان منها σ_v ، والاثنان الآخرين σ_d . الزمرة النقطية هي C_{4v} .



- استنتج Γ_{3N} باستخدام ثلاث متجهات على كل ذرة؛ يلزمك للقيام بذلك تحديد عدد الذرات غير المزاحة لكل عملية وضرب ذلك الرقم بـ غير المزاحة χ .

	E	$2C_4$	C_2	$2\sigma_v$	$2\sigma_d$
ذرات غير مزاحة	6	2	2	4	2
غير المزاحة $\times \chi$	3	1	-1	1	1
Γ_{3N}	18	2	-2	4	2

- اختزل Γ_{3N} إلى مجموع التمثيلات غير القابلة للاختزال للزمرة النقطية.

$$A_1 = 1/8 [(1 \times 18 \times 1) + (2 \times 2 \times 1) + (1 \times -2 \times 1) + (2 \times 4 \times 1) + (2 \times 2 \times 1)] = 4$$

$$A_2 = 1/8 [(1 \times 18 \times 1) + (2 \times 2 \times 1) + (1 \times -2 \times 1) + (2 \times 4 \times -1) + (2 \times 2 \times -1)] = 1$$

$$B_1 = 1/8 [(1 \times 18 \times 1) + (2 \times 2 \times -1) + (1 \times -2 \times 1) + (2 \times 4 \times 1) + (2 \times 2 \times -1)] = 2$$

$$B_2 = 1/8 [(1 \times 18 \times 1) + (2 \times 2 \times -1) + (1 \times -2 \times 1) + (2 \times 4 \times -1) + (2 \times 2 \times 1)] = 1$$

$$E = 1/8 [(1 \times 18 \times 2) + (2 \times 2 \times 0) + (1 \times -2 \times -2) + (2 \times 4 \times 0) + (2 \times 2 \times 0)] = 5$$

$$\Gamma_{3N} = 4A_1 + A_2 + 2B_1 + B_2 + 5E$$

حاصل جمع هذه الرموز التماثلية 18 (لاحظ أن E تصف شكلاً ثانياً التساوي)، وهو صحيح إذ إنه يكافيء $3N = 6 \times 3$ شكلًا.

- قم بتوسيع اهتزاز Γ باستبعاد تلك الرموز التي تصف الانتقالات والدورانات الجزيئية من Γ_{3N} :

$$(6, \text{ صحيح})$$

$$\Gamma = A_1 + A_2 + 2E \quad \text{انتقال+دوران}$$

$$\Gamma_{اهتزاز+دوران} = \Gamma_{3N} - \Gamma$$

$$(12 = 3N - 6, \text{ صحيح})$$

$$\Gamma_{اهتزاز} = 3A_1 + 2B_1 + B_2 + 3E$$

- أُسند النشاط في تحت الحمراء والرامان لهذه الاهتزازات:

A_1 : تحت الحمراء (T_z)، مستقطب في الرامان ($x^2 + y^2 + z^2$)

B_1 : غير مستقطب في الرامان ($x^2 - y^2$).

B_2 : غير مستقطب في الرامان (yx).

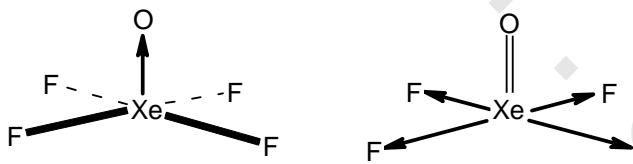
E : تحت الحمراء (T_y, T_x) وغير مستقطب في الرامان (zy, zx).

من الممكن الآن إسناد البعض مبدئياً :

	الرامان (سائل، سم ⁻¹)	تحت الحمراء (بخار، سم ⁻¹)
A ₁	(مستقطب) 920	926
E	(غير مستقطب) 605	609
A ₁	(مستقطب) 567	576
B ₂ أو B ₁	(غير مستقطب) 527	
E	(غير مستقطب) 364	361
A ₁	(مستقطب) 286	288
B ₂ أو B ₁	(غير مستقطب) 232	
B ₂ أو B ₁	(غير مستقطب) 220	
E	(غير مستقطب) 160	159

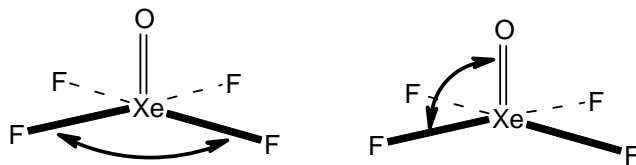
إن الأشكال A₁ و E نشطة في كل من تحت الحمراء والرامان، ولكن فقط A₁ مستقطب في الرامان؛ B₂ / B₁ هي فقط اهتزازات الرامان.

- أُسنِدَ أشكال الشد باستخدام الأسمِمِ أحادية الرؤوس لوصف شد Xe=O و



	<i>E</i>	<i>2C₄</i>	<i>C₂</i>	<i>2σ_v</i>	<i>2σ_d</i>	
Γ _{Xe-O}	1	1	1	1	1	= A ₁
Γ _{Xe-F}	4	0	0	2	0	= A ₁ + B ₁ + E

أسن الأشكال المرتبطة بتعوقات زوايا F-Xe-F و F-Xe-O ذات العلاقة :



(يظهر واحد فقط من كل من متجهات التعوقات الأربع F-Xe-F و F-Xe-O للإيضاح).

	E	$2C_4$	C_2	$2\sigma_v$	$2\sigma_d$	
$\Gamma_{\text{F-Xe-F}}$	4	0	0	0	2	$= \text{A}_1 + \text{B}_2 + \text{E}$
$\Gamma_{\text{F-Xe-O}}$	4	0	0	2	0	$= \text{A}_1 + \text{B}_1 + \text{E}$

لابد أن يكون أحد اهتزازي الثنائي A_1 زائداً، إذ إن واحداً فقط من 3A_1 مسموح من العدد الكلي من اهتزاز Γ ، تعود الزائدة للتعوقات الزاوية F-Xe-F ، حيث مجموع الزوايا يجب أن يكون 360° وهو غير ممكن في الشكل A_1 المتماثل، هذا المحدد لا ينطبق على زوايا F-Xe-O الأربع.

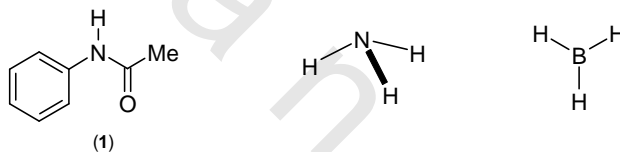
• الآن قم بإسناد الطيف :

	الرaman (سائل، سـ ⁻¹)	تحت الحمراء (بخار، سـ ⁻¹)
Xe-O شد A_1	920 (مستقطب)	926
Xe-F شد E	605 (غير مستقطب)	609
Xe-F شد A_1	567 (مستقطب)	576
Xe-F شد B_1	527 (غير مستقطب)	
F-Xe-F أو O-Xe-F تعوق E	364 (غير مستقطب)	361
O-Xe-F تعوق A_1	286 (مستقطب)	288
F-Xe-F أو O-Xe-F تعوق B_1	232 (غير مستقطب)	
F-Xe-F أو O-Xe-F تعوق B_1	220 (غير مستقطب)	
F-Xe-F أو O-Xe-F تعوق E	160 (غير مستقطب)	159

لاحظ الآتي :

- يظهر الشد عند طاقة أعلى من الثاني عندما يسمح الاختيار بذلك ، مثلاً الحزم عند 926 و 288 سم⁻¹.
- لكل من شد $O = O$ و $Xe-F$ تماثل A_1 ، إلا أنه من المتوقع ظهور $O = O$ عند طاقة أعلى لأنها رابطة ثنائية أقوى.
- لا يمكن تمييز التعوقين اللذين لهما تماثل E .
- لا يمكن تمييز التعوقين اللذين لهما تماثل B_1 و B_2 .

(٥,٣) تردد الجموعات



لقد بدأنا الفصل الأول بتأمل الطريقة التي قد تسلكها الروابط $N-H$ و $B-H$ في الأصناف الثلاثة أعلاه وكيف يمكن لنظرية الزمر أن تفيينا في حل هذه المشكلة. لقد تبين لنا في البداية أن الأصناف المتماثلة NH_3 و BH_3 تتطلب فهما لكيفية تقييد التماثل لسلوك الروابط الثلاث مع الهيدروجين ، مع ملاحظة إن الرابطة $N-H$ في (1) مميزة. وحيث أن هذه الجزيئات تمثل أصنافاً مرتفعة ومنخفضة التماثل ، وبعد دراسة أهمية طريقة نظرية الزمر في تحليل الأطيف الاهتزازي لجزيئات صغيرة متماثلة ، فإن البحث في مدى قصورها بالنسبة للأنظمة الكبيرة الأكثر تعقيداً وثيق الصلة بالموضوع. كلما ازداد تعقيد الجزيئات أصبحت أقل تماثلاً - معظم ملايين الجزيئات للمركبات المعروفة لها تماثل C_1 ، أي لا تماثل على الإطلاق. ونتيجة ذلك هي أن كل

جزء من الجزيء مميز ولا يرتبط بأي جزء آخر، رغم التشابه كيميائياً. بالنسبة لما ينحصر الأطياف الاهتزازية، يمكن النظر إلى كل رابطة بشكل معزول، مما يعني أن الطيف يصبح معقد جداً ولا يمكن تحليله ككيان كامل. هنا تبرز مقاربة "تردد المجموعات" تقوم بدورها، ولا نحاول تحليل الطيف كاملاً، بل نحدد بعض الخزم فقط الخاصة بالمجموعات الوظيفية الهامة. مدرج في الجدول رقم (٥.٣) بعض ترددات المجموعات لدى من المجموعات الفعالة بالإضافة لتلك الموضحة في الجدول رقم (٤.١).

الجدول رقم (٥.٣). ترددات تحت الحمراء (سم^{-١}) للمجموعات الفعالة الأساسية.

v	المجموعة	v	المجموعة
3640-3400	كحولات O-H	2960-2850	ألكانات C-H
3100-2500	أحماض O-H	3200-3020	ألكينات C-H
2650-2450	B-H (طرفية)	3340-3250	ألكاينات C-H
2100-1600	B-H (جسرية)	1740-1695	ألدهيدات C=O
1450-2250	P-H	1725-1670	كيتونات C=O
2650-2450	S-H	1150-1050	كحولات C-O
2250-2100	Si-H	1070-1085	إيثرات C-O
1910-1780	Sn-H	1080-1030	C=S
1200-900	Si-O	1060-1020	S=O
1000-600	Si-F	22260-2210	نيتريلات C≡N
750-400	Si-Cl	1690-1630	C=N
600-250	Si-Br	1220-1020	C-N
1050-700	P-F	1565-1545	NO ₂
600-400	P-Cl	3500-3310	N-H

نستنتج أنه حين تكون الجزيئات صغيرة وتُظهر ولو بعض التماثل، فإن نظرية الزمر تمثل أداة فعالة في إسناد الأطياف الاهتزازية. إلا أنه بزيادة تعقيد الجزيئات واتجاهها نحو الماثل C₁، يقتصر التحليل على طريقة تردد المجموعات.

مسائل

جميع إجابات المسائل التي تحمل العلامة * في الملحق ٤.

١ - استنتاج اهتزاز Γ ثم قم بإسناد طيف أيون $[ClO_4^-]$.

يمكنك أن تفرض أن جميع الروابط Cl-O متساوية.

الرامان (محلول، سم ⁻¹)	تحت الحمراء (صلب، سم ⁻¹)
1102 (غير مستقطب)	1111
935 (مستقطب)	
628 (غير مستقطب)	625
462 (غير مستقطب)	

٢ - استنتاج اهتزاز Γ ثم أنسند طيف $P(O)Cl_3$. استخدم ستة أسماء ثنائية

الرؤوس لوصف تعوق ست زوايا بين الروابط.

الرامان (سائل، سم ⁻¹)	تحت الحمراء (سائل، سم ⁻¹)
1290 (مستقطب)	1292
581 (غير مستقطب)	580
486 (مستقطب)	487
337 (غير مستقطب)	340
267 (مستقطب)	267
193 (غير مستقطب)	لا يمكن تسجيله

* ٣ - أُسند طيف ترانس ثنائي داياتزين الفلور ، N₂F₂ الاهتزازي التالي :

الرامان (غاز، سم ⁻¹)	تحت الحمراء (غاز، سم ⁻¹)
1636 (مستقطب)	
1010 (غير مستقطب)	989
	412
592 (مستقطب)	360

يتطلب الخل أَسْهَمِ ثنائية الرؤوس لاهتزازي ثني F-N-N في المستوى وأَسْهَمِ أحادية الرؤوس على كل فلور لوصف التعلقات خارج المستوى.

٤ - يَتَّخِذُ MoF₅ في الحالة الغازية الشكل الهندسي ثنائي الهرم ثلاثي الأوجه.

أثبت أن :

$$\Gamma = 2A' + 2A_2'' + 3E' + E''$$

ثم أُسند طيف هذا المركب بأقصى ما تستطيع.

الرامان (غاز، سم ⁻¹)	تحت الحمراء (غاز، سم ⁻¹)
747 (مستقطب)	
732 (غير مستقطب)	730
703 (مستقطب)	685
	500
440 (غير مستقطب)	
239 (غير مستقطب)	240
201 (غير مستقطب)	205

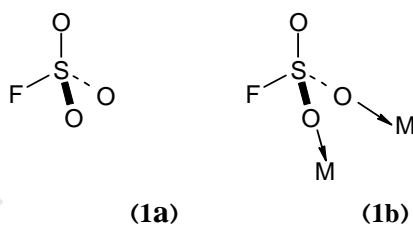
(تلميح : بتأملك لتحليل SO₂ لابد أن تستطيع تعين أشكال الشد المتماثل وعكس المتماثل التي تتضمن الفلور الرأسى).

٥ - يتفاعل $[Me_4N]Cl$ مع مذيب لامائي ليتتج $[Me_4N]_2[InCl_5]$. سُجّل الطيف الاهتزازي لهذا الصنف (المدى المتعلق بالأنيون فقط) لتحديد ما إذا كان الأنيون الثنائي قد اتخد هندسة هرم رباعي القاعدة (C_{4v}) أم شائي الهرم ثلاثي الأوجه (D_{3h}):

الرامان (صلب، سم ⁻¹)	تحت الحمراء (صلب، سم ⁻¹)
294 (مستقطب)	294
287 (غير مستقطب)	
283 (غير مستقطب)	283
274 (مستقطب)	274
193 (غير مستقطب)	
165 (غير مستقطب)	
143 (غير مستقطب)	143
140 (مستقطب)	140
108 (غير مستقطب)	108

استنتاج اهتزاز Γ لكلا الشكلين الهندسيين واختر أي بناء سوف يتخذ. أنسد الطيف بأقصى ما تستطيع للشكل الهندسي الصحيح.

- ٦- يمكن لأنيون كبريتات الفلور $[\text{FSO}_3^-]$ أن يعمل بشكل إما لاتناسقي (1a) وإما جسري ثنائي السن (1b) مع المعادن:



حدد الزمر النقطية التي يتبع لها أيون $[\text{FSO}_3^-]$ في كل من الحالتين.
باستخدام المتجهات المناسبة $\text{O} \rightarrow \text{S} \rightarrow \text{O}$ ، استنتاج رموز التماثل لأشكال شد $\text{S}-\text{O}$ في كل نوع من أنواع الربط.

يُظهر $\text{K}[\text{FSO}_3]$ حزم تحت حمراء عند 1287 و 1082 سـ⁻¹ تعود لشد $\text{S}-\text{O}$. ما نوع الربط الذي يتخذه الأيون في هذا الصنف؟

٧- يحتوي طيف الرامان (سـ⁻¹) لأنيون $[\text{SO}_3^{2-}]$ حزم عند 966 (مستقطب)، 933 (غير مستقطب) و 620 (مستقطب) و 473 (غير مستقطب). أنسد كلا من هذه الحزم بما في ذلك الرموز التماثلية المناسبة.

٨- يمكن أن يتخذ $\text{OsO}_4(\text{py})$ واحدة من أربع بنيات (تنظر الزمر النقطية إلى البيريدين (py) كذرة واحدة):

ثنائي الهرم ثلاثي الأوجه ، N محورية (C_{2v}).

ثنائي الهرم ثلاثي الأوجه ، O محورية (C_{3v}).

هرم مربع ، N محورية (C_{4v}).

هرم مربع ، O محورية (C_s).

بيانات الطيف الاهتزازي (سم¹) التي تعود لمنطقة شد Os-O هي :

الرامان	تحت الحمراء
928 (مستقطب)	926
916 (مستقطب)	915
907 (مستقطب)	908
886 (غير مستقطب)	885

استنتج نشاط شد Os-O في تحت الحمراء والرامان لكل بناء ومن تم حدد أي هندسة أكثر توافقاً مع البيانات الواردة.